

การปรับปรุงคุณภาพความหลากหลายของแตงในรู
ของกระบวนการผลิตแผ่นวงจรพิมพ์โดยประยุกต์วิธีซิกซ์ ซิกมา

นาย ธีรยุทธ มัจฉะ

วิทยานิพนธ์นี้เป็นส่วนหนึ่งของการศึกษาตามหลักสูตรปริญญาวิศวกรรมศาสตรมหาบัณฑิต
สาขาวิศวกรรมอุตสาหการ ภาควิชาชีวกรรมศาสตรมหาบัณฑิต
คณะวิศวกรรมศาสตร์ จุฬาลงกรณ์มหาวิทยาลัย
ปีการศึกษา 2546
ISBN 974-17-4881-7
ลิขสิทธิ์ของจุฬาลงกรณ์มหาวิทยาลัย

**QUALITY IMPROVEMENT FOR COPPER-IN-HOLE THICKNESS IN PRINTED CIRCUIT
BOARD PRODUCTION PROCESS BY SIX SIGMA APPROACH**

Mr. Theerayuth Madjupa

**A Thesis Submitted in Partial Fulfillment of the Requirements
for the Degree of Master of Engineering in Industrial Engineering**

Department of Industrial Engineering

Faculty of Engineering

Chulalongkorn University

Academic Year 2003

ISBN 974-17-4881-7

หัวข้อวิทยานิพนธ์

การปรับปรุงคุณภาพความනาทองแดงในรูของกระบวนการผลิต
แผ่นวงจรพิมพ์โดยประยุกต์วินิจฉัย

โดย

นาย ธีรยุทธ มัจฉะ

สาขาวิชา

วิศวกรรมอุตสาหการ

อาจารย์ที่ปรึกษา

อาจารย์ ดร. นภัสสวงศ์ โอลลิลปี

คณะกรรมการศาสตร์ จุฬาลงกรณ์มหาวิทยาลัย อนุมัติให้นับวิทยานิพนธ์ฉบับนี้เป็นส่วน
หนึ่งของการศึกษาตามหลักสูตรปริญญามหาบัณฑิต

.....
.....
(ศาสตราจารย์ ดร. ดิเรก ลาวณย์ศิริ)

คณะกรรมการสอบวิทยานิพนธ์

.....
.....
(รองศาสตราจารย์ ดร. ชูเวช ชาญส่งเวช)

.....
.....
(อาจารย์ ดร. นภัสสวงศ์ โอลลิลปี)

.....
.....
(รองศาสตราจารย์ ดร. ปารเมศ ชุติมา)

.....
.....
(รองศาสตราจารย์ จิราพัฒน์ เก้าประเสริฐวงศ์)

ธีรยุทธ มัจฉุปะ : การปรับปรุงคุณภาพความหนาทองแดงในรูของกระบวนการผลิตแผ่นวงจรพิมพ์โดยประยุกต์วิธีซิกมา. (QUALITY IMPROVEMENT FOR COPPER-IN-HOLE THICKNESS IN PRINTED CIRCUIT BOARD PRODUCTION PROCESS BY SIX SIGMA APPROACH) อ. ที่ปรึกษา : อ.ดร. นภัสสวงศ์ โอดสตีลปี, 289 หน้า. ISBN 974-17-4881-7.

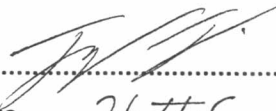
การวิจัยฉบับนี้มีวัตถุประสงค์เพื่อลดปริมาณของเสียที่เกิดขึ้นจากค่าความหนาทองแดงในรู (Copper-in-Hole thickness) ของแผ่นวงจรพิมพ์ออกนอกข้อกำหนดด้านผลิตภัณฑ์ของลูกค้า โดยนำวิธีการปรับปรุงกระบวนการผลิตตามวิธีซิกมา มาประยุกต์ใช้เพื่อศึกษาหาปัจจัยที่มีอิทธิพลต่อค่าเฉลี่ยของความหนาทองแดงในรู และหาเงื่อนไขที่เหมาะสมของปัจจัยดังกล่าวในการผลิตที่จะทำให้ค่าความหนาทองแดงในรูมีค่าเฉลี่ยเข้าสู่ค่าเป้าหมายและของเสียลดลงได้ โดยหน่วยวัดผลกระทบการปรับปรุงของการวิจัยที่กำหนดคือปริมาณของเสียที่เกิดขึ้นในหน่วย Part Per Million (PPM) ซึ่งก่อนการปรับปรุงกระบวนการผลิตมีปริมาณของเสียเท่ากับ 14,872 PPM

ขั้นตอนการวิจัยจะดำเนินตามวิธีซิกมาทั้ง 5 ขั้นตอน โดยเริ่มจากการนิยามปัญหา, การวัดเพื่อกำหนดสาเหตุของปัญหา, การวิเคราะห์สาเหตุของปัญหา โดยเมื่อผ่านขั้นตอนนี้แล้ว พบร่วมกับปัจจัยนำเข้าที่มีนัยสำคัญคือ เวลาที่ใช้ในการชุบ, กระแสไฟฟ้าที่ใช้ในการชุบ, อุณหภูมิของสารละลาย, ความเข้มข้นของคลอร์อีโอน และความเข้มข้นของกรดซัลฟูริก ซึ่งเป็นปัจจัยที่เกี่ยวข้องในกระบวนการชุบทองแดงด้วยกระแสไฟฟ้า จากนั้นจึงนำปัจจัยทั้งห้านี้มาทำการออกแบบการทดลองในขั้นตอนการปรับปรุงแก้ไขกระบวนการ ซึ่งผลลัพธ์ของค่าที่เหมาะสมในการใช้งานที่ได้เป็นดังนี้ เวลาที่ใช้ในการชุบ 59 นาที 39 วินาที, กระแสไฟฟ้าที่ใช้ในการชุบ 29 แอม培ร์ต่อตารางฟุต, อุณหภูมิของสารละลาย 25 องศาเซลเซียส, ความเข้มข้นของคลอร์อีโอน 52 PPM และความเข้มข้นของกรดซัลฟูริก 255 กรัมต่อลิตร จากนั้นจึงนำไปทดสอบเพื่อยืนยันผลก่อนนำไปใช้งานจริงในกระบวนการผลิต และทำการกำหนดระบบควบคุมแก้ปัจจัยนำเข้าที่สำคัญทั้งห้าในขั้นตอนการควบคุมกระบวนการ ซึ่งเป็นขั้นตอนสุดท้าย

จากข้อมูลหลังการปรับปรุงกระบวนการพบว่า มีปริมาณของเสียเกิดขึ้นประมาณ 77 PPM ซึ่งคิดเป็น 99.5 เปอร์เซ็นต์ของจำนวนของเสียที่ลดได้ก่อนการปรับปรุงกระบวนการผลิต และสามารถที่จะลดความสูญเสียได้เป็นจำนวนเงิน 839,837 บาทต่อปี โดยประมาณการจากปริมาณยอดสั่งซื้อที่พยากรณ์ไว้ของบริษัทจากเดือนมกราคม 2547 ถึงเดือนธันวาคม 2547

ภาควิชา วิศวกรรมอุตสาหการ
สาขาวิชา วิศวกรรมอุตสาหการ
ปีการศึกษา 2546

ลายมือชื่อนิสิต
ลายมือชื่ออาจารย์ที่ปรึกษา
ลายมือชื่ออาจารย์ที่ปรึกษาร่วม




4571424721: MAJOR INDUSTRY ENGINEERING

KEY WORD: SIX SIGMA / COPPER-IN-HOLE THICKNESS IN PRINTED CIRCUIT BOARD / PART PER MILLION / DEFINE PHASE / MEASURE PHASE / ANALYZE PHASE / IMPROVE PHASE / CONTROL PHASE

THEERAYUTH MADJUPA: QUALITY IMPROVEMENT FOR COPPER-IN-HOLE THICKNESS IN PRINTED CIRCUIT BOARD PRODUCTION PROCESS BY SIX SIGMA APPROACH. THESIS ADVISOR: DR. NAPASSAVONG OSOTHSILP, 289 pp. ISBN 974-17-4881-7

The objective of this research is to reduce a number of printed circuit boards defect which have Copper-in-Hole thickness out of product specification limit by applying Six Sigma methodology to study factors that influence Copper-in-Hole thickness mean to target and identify appropriate operative conditions in order to shift its mean and reduce number of defects. The measure of improvement is the number of defects in PPM unit, and the current process has 14,872 defects Part Per Million (PPM).

The step of study will follow five-phase of Six Sigma methodology which begins with define phase, measure phase, analyze phase. After finishing analyze phase, it was found that Acid Copper Plating bath in Electro Copper Plating process has significant impact to the problem and contains five key process input variables (KPIVs) which are Dipping time, Current density, Temperature, Chloride ion concentration and Sulfuric concentration. Then an experiment of these KPIVs was performed in improvement phase and from the experiment, the appropriate operating condition are Dipping time 59 minute and 39 seconds, Current density 29 amperes per square inch, Temperature 25 Celsius, Chloride ion concentration 52 PPM and Sulfuric concentration 255 grams per liter. After that pre-running using the chosen levels of factors was performed in order to confirm the result. Finally, set the control system for these KPIVs in control phase.

After process improvement, the data show Copper-in-Hole thickness defects of 77 PPM that is equal to 99.5% of amount of defect before process improvement. And it could reduce cost by 839,837 baht per year estimated from forecast order after improvement from January 2004 to December 2004.

Department Industrial Engineering

Student's signature

Field of study Industrial Engineering

Advisor's signature

Academic year 2003

Co-advisor's signature

กิตติกรรมประกาศ

วิทยานิพนธ์ฉบับนี้สำเร็จลุล่วงไปด้วยดี ผู้ทำวิจัยขอกราบขอบพระคุณต่อ
อาจารย์ ดร. นภัสสวงค์ โอลสตีลปี อาจารย์ที่ปรึกษาวิทยานิพนธ์ ซึ่งเป็นผู้ที่ให้คำชี้แนะและ
ข้อคิดเห็นต่างๆ ในงานวิจัยมาด้วยดีโดยตลอด และขอกราบขอบพระคุณ รองศาสตราจารย์ ดร.
ชูเวช ชาญส่งเวช ประธานกรรมการ รองศาสตราจารย์ ดร. ปารเมศ ชุดามา และรอง
ศาสตราจารย์ จิรพัฒน์ เงาประเสริฐวงศ์ กรรมการสอบวิทยานิพนธ์ ที่ได้ให้คำแนะนำและ
ข้อคิดเห็นต่างๆ พร้อมทั้งตรวจสอบแก้ไขข้อบกพร่องภายในวิทยานิพนธ์ฉบับนี้จนสำเร็จลุล่วง
ไปด้วยดี

ผู้วิจัยขอกราบขอบพระคุณคุณ อนวัชช์ จรปัญญาวนนก ที่ได้ให้คำแนะนำและ
เทคนิคต่างๆ ในวิทยานิพนธ์ฉบับนี้ ขอขอบคุณสมาชิกทุกท่านที่ได้ให้ข้อมูลและเข้าร่วมการ
ระดมความคิดเห็นในการทำการวิจัย ตลอดจนพนักงาน ในโรงงานตัวอย่างที่ให้ความร่วมมือใน
การทำการทดลองเป็นอย่างดี

ท้ายนี้ ผู้วิจัยได้รับขอกราบขอบพระคุณบิดา มารดา ครูอาจารย์ พี่น้อง
เพื่อนนิสิต และท่านที่มิได้กล่าวไว้ ณ ที่นี่ ที่กรุณาให้ความช่วยเหลือและให้กำลังใจแก่ผู้ทำวิจัย
เสมอมาจนสำเร็จการศึกษา

สารบัญ

หน้า

บทคัดย่อภาษาไทย.....	๑
บทคัดย่อภาษาอังกฤษ.....	๑
กิตติกรรมประกาศ.....	๑
สารบัญ.....	๗
สารบัญตาราง.....	๗
สารบัญรูป.....	๘

บทที่ 1 บทนำ

1.1 ที่มาและความสำคัญของปัญหา.....	๑
1.2 งานการณ์ศึกษาและกระบวนการผลิต.....	๒
1.3 สภาพของปัญหาและความสำคัญของปัญหา.....	๓
1.4 วัตถุประสงค์ของงานวิจัยและการวัดผล.....	๗
1.5 ขอบเขตการศึกษาวิจัย.....	๗
1.6 ประโยชน์ที่คาดว่าจะได้รับ.....	๘
1.7 ขั้นตอนการดำเนินงาน.....	๘
1.8 สรุปเนื้อหาโดยสังเขป.....	๑๐

บทที่ 2 การสำรวจงานวิจัยที่เกี่ยวข้อง

2.1 การศึกษาด้วยอย่างวิธีการประยุกต์ใช้ชิกซ์ ชิกมา จากบทความหรืองานวิจัย.....	๑๒
2.2 การศึกษางานวิจัยเกี่ยวกับการควบคุมคุณภาพกระบวนการผลิตแผ่นวงจรพิมพ์.....	๑๕

บทที่ 3 ทฤษฎีที่เกี่ยวข้อง

3.1 ความหมายและประวัติความเป็นมาของชิกซ์ ชิกมา.....	๑๖
3.2 ตัววัดระดับของคุณภาพ.....	๑๗
3.3 การปรับปรุงกระบวนการผลิตตามแนวทางชิกซ์ ชิกมา.....	๑๘
3.4 ทฤษฎีการซุบทองแดง.....	๕๒

สารบัญ (ต่อ)

หน้า

บทที่ 4 การนิยามปัญหา

4.1 บทนำ.....	58
4.2 ที่มาของปัญหา.....	58
4.3 วัตถุประสงค์ของการวิจัย.....	59
4.4 หน่วยวัดผล.....	59
4.5 ขอบเขตในการดำเนินการ.....	59
4.6 ระยะเวลาในการดำเนินการ.....	59
4.7 กำหนดสมาชิก.....	60

บทที่ 5 การวัดเพื่อกำหนดสาเหตุของปัญหา

5.1 การศึกษาระบวนการผลิตแผ่นวงจรพิมพ์.....	61
5.2 การวิเคราะห์ความแม่นยำของระบบการวัด.....	72
5.3 การทดลองเบื้องต้นเพื่อจัดลำดับค่าความผันแปรของกระบวนการ.....	86
5.4 การวิเคราะห์สาเหตุด้วย Cause and Effect Matrix.....	99
5.5 การวิเคราะห์ลักษณะข้อบกพร่องและผลกระทบ (FMEA).....	111
5.6 สรุปผลขั้นตอนการวัดเพื่อกำหนดสาเหตุของปัญหา.....	119

บทที่ 6 การวิเคราะห์สาเหตุของปัญหา

6.1 บทนำ.....	120
6.2 การทดสอบสมมติฐาน.....	120
6.3 สรุปผลขั้นตอนการวิเคราะห์สาเหตุของปัญหา.....	157

บทที่ 7 การปรับปรุงแก้ไขกระบวนการ

7.1 บทนำ.....	158
7.2 ปัจจัยนำเข้าที่สำคัญ	158
7.3 ตัวแปรตอบสนอง.....	159
7.4 แบบการทดลอง.....	159
7.5 การเตรียมการทดลอง.....	167
7.6 ขั้นตอนในการทดลอง.....	168
7.7 ดำเนินการทดลอง.....	168

สารบัญ (ต่อ)

	หน้า
7.8 การวิเคราะห์ผลการทดลอง.....	170
7.9 การออกแบบการทดลองแบบส่วนประเมินกลาง.....	175
7.10 การวิเคราะห์ผลการทดลองการออกแบบแบบส่วนประเมินกลาง.....	175
7.11 การตรวจสอบความเพียงพอของตัวแบบ.....	178
7.12 การหาเงื่อนไขที่เหมาะสมของปัจจัยนำเข้าที่สำคัญ.....	182
7.13 สรุปผลขั้นตอนการปรับปรุงแก้ไขกระบวนการ.....	187
บทที่ 8 การทดสอบยืนยันผล	
8.1 บทนำ.....	188
8.2 ขั้นตอนการทดสอบยืนยันผล.....	188
8.3 วิเคราะห์ผลการทดลอง.....	190
8.4 สรุปผลขั้นตอนการทดสอบยืนยันผล.....	191
บทที่ 9 การควบคุมกระบวนการผลิต	
9.1 บทนำ.....	192
9.2 แผนการควบคุม.....	192
9.3 ข้อมูลหลังการปรับปรุงกระบวนการผลิต.....	208
9.4 สรุปขั้นตอนการควบคุมกระบวนการผลิต.....	214
บทที่ 10 บทสรุปและข้อเสนอแนะ	
10.1 บทนำ.....	216
10.2 บทสรุปขั้นตอนการวัดเพื่อกำหนดสาเหตุของปัญหา.....	216
10.3 บทสรุปขั้นตอนการวิเคราะห์สาเหตุของปัญหา.....	218
10.4 บทสรุปขั้นตอนการปรับปรุงแก้ไขกระบวนการ.....	219
10.5 บทสรุปขั้นตอนการควบคุมกระบวนการผลิต.....	220
10.6 ข้อจำกัดในงานวิจัย.....	222
10.7 ข้อเสนอแนะ.....	222
10.8 ประโยชน์ในการประยุกต์ผลวิจัยที่ได้.....	224
10.9 บทเรียนและอุปสรรคจากการทำวิจัย.....	224
10.10 ประโยชน์จากการนำวิธีชิกเกอร์ ชิกมา มาใช้ปรับปรุงกระบวนการผลิต.....	225

สารบัญ (ต่อ)

หน้า

รายการอ้างอิง.....	227
 ภาคผนวก.....	 229
ภาคผนวก ก การคำนวณความสามารถของระบบการผลิตในระดับชิ้นชิ้น ซึ่กม่า..	230
ภาคผนวก ข ผลการศึกษาระบบการวัด.....	232
ภาคผนวก ค ผลการทดสอบเพื่อจัดลำดับค่าความผันแปรของกระบวนการ.....	236
ภาคผนวก ง ผลการทดสอบสมมติฐาน.....	237
ภาคผนวก จ ผลการทดลองการปรับปรุงกระบวนการ.....	245
ภาคผนวก ฉ ผลการทดสอบยืนยันผล.....	252
ภาคผนวก ช ข้อมูลหลังการปรับปรุงกระบวนการผลิต.....	254
ภาคผนวก ซ ข้อมูลแนวโน้มของปัจจัยนำเข้า.....	259
ภาคผนวก ฉ แผนภูมิการไหลของกระบวนการผลิตแผ่นวงจรพิมพ์.....	267
 ประวัติผู้เขียนวิทยานิพนธ์.....	 273

สารบัญตาราง

ตารางที่	หน้า
3.1 แสดงจำนวนของเสียที่เกิดขึ้นในแต่ละ Sigma quality level.....	17
3.2 ตัวอย่างตาราง Cause and Effect Matrix.....	23
3.3 แสดงเกณฑ์การให้คะแนนความร้ายแรง (Severity Score).....	29
3.4 ตาราง ANOVA สำหรับการวิเคราะห์ระบบการวัด	34
3.5 ตาราง One-way ANOVA.....	39
4.1 ระยะเวลาในการดำเนินการ.....	59
5.1 ตาราง ANOVA ของการศึกษา GR&R ของการวัดค่าความหนาทองแดงในรูด้วยเครื่อง Cu-Scope.....	74
5.2 ผลการประเมินความผันแปรของ การวัดค่าความหนาทองแดงในรู ด้วยเครื่อง Cu-Scope.....	74
5.3 ตาราง ANOVA ของการศึกษา GR&R ของการวัดค่าความหนาทองแดงในรูด้วยเครื่อง Micro Scope	78
5.4 ผลการประเมินความผันแปรของ การวัดค่าความหนาทองแดงในรู ด้วยเครื่อง Micro Scope	78
5.4 ผลการคำนวณหาดจำนวนสิ่งตัวอย่างสำหรับการทดสอบสมมติฐาน (ของการทดสอบค่าวัดความหนาทองแดงในรูระหว่างเครื่อง Cu-Scope และ Micro Scope).....	81
5.6 ผลการทดสอบความแปรปรวนของค่าวัดที่ได้จาก Cu-Scope และ Micro Scope ...	84
5.7 ผลการทดสอบค่าเฉลี่ยของค่าวัดที่ได้จาก Cu-Scope และ Micro Scope	84
5.8 ผลการคำนวณหาดจำนวนสิ่งตัวอย่างสำหรับการทดสอบสมมติฐาน (ของการจัดลำดับค่าความผันแปรของกระบวนการ).....	87
5.9 แสดงผลการทดสอบการแจกแจงปกติด้วยวิธี Anderson-Daring Normality Test ..	93
5.10 ผลการทดสอบความมีนัยสำคัญของค่าความแปรปรวนของค่าความหนาทองแดงในรูหลังกระบวนการซับด้วยกระแทกไฟฟ้า และหลังการกัดกรด.....	94
5.11 ผลการทดสอบความมีนัยสำคัญของค่าความแปรปรวนของค่าความหนาทองแดงในรูหลังกระบวนการกัดกรด และหลังการตรวจสอบขั้นสุดท้าย.....	95
5.12 ผลการทดสอบความมีนัยสำคัญของค่าเฉลี่ยผลต่างความหนาทองแดงในรูหลังกระบวนการซับด้วยกระแทกไฟฟ้า และหลังกระบวนการกัดกรด.....	96
5.13 ผลการทดสอบความมีนัยสำคัญของค่าเฉลี่ยผลต่างความหนาทองแดงในรูหลังกระบวนการกัดกรด และหลังกระบวนการตรวจสอบขั้นสุดท้าย.....	97

สารบัญตาราง (ต่อ)

ตารางที่	หน้า
5.14 แสดงตาราง Cause and Effect Matrix.....	102
5.15 แสดงปัจจัยนำเข้าสำคัญที่ได้จาก Cause and Effect Matrix.....	110
5.16 ผลการวิเคราะห์ FMEA	113
6.1 แสดงค่าการปรับในแต่ละระดับของปัจจัย.....	122
6.2 ผลการคำนวนขนาดจำนวนสิ่งตัวอย่างสำหรับการทดสอบสมดุล.....	127
6.3 แสดงผลการทดสอบความมีนัยสำคัญของความแปรปรวนที่เกิดจากค่าอุณหภูมิสารละลายในถัง Electroless Copper 85.....	138
6.4 แสดงผลการทดสอบความมีนัยสำคัญของค่าเฉลี่ยที่เกิดจากค่าอุณหภูมิสารละลายในถัง Electroless Copper 85.....	138
6.5 แสดงผลการทดสอบความมีนัยสำคัญของความแปรปรวนที่เกิดจากค่าเวลาที่ใช้ในการจุ่มในสารละลายในถัง Electroless Copper 85.....	141
6.6 แสดงผลการทดสอบความมีนัยสำคัญของค่าเฉลี่ยที่เกิดจากค่าเวลาที่ใช้ในการจุ่มในสารละลายในถัง Electroless Copper 85.....	141
6.7 แสดงผลการทดสอบความมีนัยสำคัญของความแปรปรวนที่เกิดจากค่าเวลาที่ใช้ในการจุ่มในสารละลายในถัง Acid Copper Plating	144
6.8 แสดงผลการทดสอบความมีนัยสำคัญของค่าเฉลี่ยที่เกิดจากค่าเวลาที่ใช้ในการจุ่มในสารละลายในถัง Acid Copper Plating	144
6.9 แสดงผลการทดสอบความมีนัยสำคัญของความแปรปรวนที่เกิดจากค่ากระแสไฟฟ้าที่ใช้ในการชุบในสารละลายในถัง Acid Copper Plating	147
6.10 แสดงผลการทดสอบความมีนัยสำคัญของค่าเฉลี่ยที่เกิดจากค่ากระแสไฟฟ้าที่ใช้ในการชุบในสารละลายในถัง Acid Copper Plating	147
6.11 แสดงผลการทดสอบความมีนัยสำคัญของความแปรปรวนที่เกิดจากค่าอุณหภูมิสารละลายที่ใช้ในการชุบในถัง Acid Copper Plating	150
6.11 แสดงผลการทดสอบความมีนัยสำคัญของค่าเฉลี่ยที่เกิดจากค่าอุณหภูมิสารละลายที่ใช้ในการชุบในถัง Acid Copper Plating	150
6.12 แสดงผลการทดสอบความมีนัยสำคัญของความแปรปรวนที่เกิดจากค่าความเข้มข้นของ Chloride ion ที่ใช้ในการชุบในสารละลายในถัง Acid Copper Plating	153
6.14 แสดงผลการทดสอบความมีนัยสำคัญของค่าเฉลี่ยที่เกิดจากค่าความเข้มข้นของ Chloride ion ที่ใช้ในการชุบในสารละลายในถัง Acid Copper Plating	153

สารบัญตาราง (ต่อ)

ตารางที่	หน้า
6.15 แสดงผลการทดสอบความมีนัยสำคัญของความแปรปรวนที่เกิดจากค่าความเข้มข้นของกรดซัลฟูริกที่ใช้ในการชุบในสารละลายในถัง Acid Copper Plating	156
6.16 แสดงผลการทดสอบความมีนัยสำคัญของค่าเฉลี่ยที่เกิดจากค่าความเข้มข้นของกรดซัลฟูริกที่ใช้ในการชุบในสารละลายในถัง Acid Copper Plating	156
7.1 แสดงค่าระดับของปัจจัยในการทดลอง.....	159
7.2 แสดงการคำนวณจำนวนการทำข้อด้วยโปรแกรม Minitab.....	162
7.3 แสดงการออกแบบการทดลองด้วยโปรแกรม Minitab.....	163
7.4 ตาราง Design Matrix ของการทดลอง.....	164
7.5 แสดงผลการวิเคราะห์ความแปรปรวน (Code units).....	173
7.6 ตาราง Design Matrix ของการออกแบบ CCD (ส่วนที่ทดลองเพิ่มจากการออกแบบ 2^k).....	175
7.7 แสดงผลการวิเคราะห์ความแปรปรวน (Code units) ของการออกแบบการทดลองแบบส่วนประสมกลาง.....	176
7.8 แสดงผลการวิเคราะห์ความแปรปรวน (Code units) ของตัวแบบลดรูปของการออกแบบการทดลองแบบส่วนประสมกลาง.....	177
7.9 แสดงผลค่าประมาณสัมประสิทธิ์ (Uncode units) ของตัวแบบลดรูปของการออกแบบการทดลองแบบส่วนประสมกลาง.....	178
7.10 การวิเคราะห์ความแปรปรวนของความไม่สมรูปของตัวแบบกับข้อมูล (ลดรูป).....	183
7.11 ผลการทดลองที่เรียงข้อมูลการเกิดรอยใหม่สำหรับวิเคราะห์ผลของ Attribute Experiment โดยมีจำนวนการเกิดจุดรอยใหม่เป็นตัวแปรผลตอบ.....	185
9.1 การคำนวณค่ากระแสไฟฟ้าที่ใช้ในการชุบ.....	197
9.2 แสดงการวิเคราะห์ทางการเงินหลังจากการดำเนินการวิธีซิกซ์ ซิกมา.....	213

สารบัญรูป

รูปที่	หน้า
1.1 แสดงตัวอย่างแผ่น PCB.....	3
1.2 แสดงรู Plated Through Hole ของ PCB.....	3
1.3 แสดงโครงสร้างภาคตัดขวางของรู Plated Through Hole ของ PCB.....	4
1.4 แสดงรูปถ่ายโครงสร้างภาคตัดขวางของรูและทองแดงที่ชุบภายในรู.....	4
1.5 แสดงลักษณะปัญหาที่เกิดขึ้นกับทองแดงที่ชุบภายในรู.....	5
1.6 ความสามารถของกระบวนการ Copper-In-Hole thickness ที่ระดับข้อกำหนด 1.5 +/-0.5 mils.....	6
3.1 Five-phase improvement cycle.....	18
3.2 ตัวอย่างแผนภูมิอิชิกาวาของปัญหาการรอดอยเดียงรักษาของคนไข้ในโรงพยาบาล.....	21
3.3 แผนภูมิพาร์เตอแสดงข้อบกพร่องในการใช้ยา.....	23
3.4 แสดงกราฟความสัมพันธ์ระหว่าง 2 ตัวแปร.....	40
3.5 แผนภาพแสดงความสัมพันธ์ระหว่างค่าเศษเหลือและลำดับของข้อมูล.....	43
3.6 แผนภาพแสดงความสัมพันธ์ระหว่างค่าเศษเหลือและลำดับของข้อมูล.....	44
3.7 แผนภาพแสดงความสัมพันธ์ระหว่างค่าเศษเหลือและค่า Fitted value.....	45
3.8 แผนภาพแสดงปัจจัยร่วมในการทดลอง.....	46
3.9 แผนภาพแสดง Treatment Combination ใน 2^k Factorial Design	47
3.10 รูปแบบหัวไปของแผนภูมิควบคุม.....	49
3.11 แสดงปฏิกริยาอีเลคโทรไลท์ของสารละลายคอปเปอร์ชัลเฟต.....	54
3.12 แสดงความสัมพันธ์ของกระแสไฟฟ้า และเวลาที่ใช้ของปฏิกริยาอีเลคโทรไลท์ ต่อปริมาณโลหะนิเกิลที่เกิดขึ้นตามกฎของฟาราเดีย.....	55
5.1 แสดงขั้นส่วนประกอบของแผ่น PCB โนเบล 2712M04026.....	61
5.2 แสดงแผนภาพกระบวนการผลิตแผ่นวงจรพิมพ์.....	62
5.3 แสดง PCB Manufacturing step ของผลิตภัณฑ์รุ่น 2712M04026.....	71
5.4 แผนภูมิการตรวจสอบคุณสมบัติของข้อมูลจากการระบบการวัดของพารามิเตอร์ความหนาทองแดงในรู ด้วยเครื่อง Cu-Scope	75
5.5 แผนภูมิการตรวจสอบคุณสมบัติของข้อมูลจากการระบบการวัดของพารามิเตอร์ความหนาทองแดงในรู ด้วยเครื่อง Micro Scope	79
5.6 แผนภูมิ Normal Probability Plot ของค่าวัดความหนาทองแดงในรูด้วยเครื่อง Cu Scope	83

สารบัญรูป (ต่อ)

รูปที่	หน้า
5.7 แผนภูมิ Normal Probability Plot ของค่าวัดความหนาทองแดงในรูด้วยเครื่อง Micro Scope	83
5.8 แผนภาพแสดงความหนาแน่นของกระแสไฟฟ้าที่มีต่อแผ่นวงจรที่ต่ำแห่งต่างๆ ในถังชุบ.....	88
5.9 แผนภาพขั้นตอนการทดลอง.....	89
5.10 แสดงขีส์โตแกรมของกระบวนการชุบทองแดงด้วยกระแสไฟฟ้า.....	90
5.11 แสดงขีส์โตแกรมของกระบวนการกัดกรด.....	91
5.12 แสดงขีส์โตแกรมของกระบวนการตรวจสอบขั้นสุดท้าย.....	92
5.13 แสดงแผนภูมิสาเหตุและผลของปัจจัย Copper-In-Hole thickness ไม่ได้ตามข้อกำหนด.....	100
5.14 แสดงแผนภูมิพารโടเรียงลำดับความสำคัญของปัจจัยต่างๆ จากการวิเคราะห์ด้วย Cause and Effect Matrix	109
5.15 แสดงแผนภูมิพารโടเรียงลำดับตามคะแนน RPN	118
6.1 แผนภาพแสดงความหนาแน่นของกระแสไฟฟ้าที่มีต่อแผ่นวงจรที่ต่ำแห่งต่างๆ ในถังชุบ.....	128
6.2 ขั้นตอนการทดลองสำหรับอุณหภูมิของสารละลายในถัง Electroless Copper 85... ..	129
6.3 ขั้นตอนการทดลองสำหรับเวลาที่ใช้ในการจุ่มนบอร์ดในถัง Electroless Copper 85... ..	130
6.4 ขั้นตอนการทดลองสำหรับเวลาที่ใช้ในการจุ่มนบอร์ดในถัง Acid Copper Plating	131
6.5 ขั้นตอนการทดลองสำหรับกระแสไฟฟ้าที่ใช้ในการชุบในถัง Acid Copper Plating . ..	132
6.6 ขั้นตอนการทดลองสำหรับอุณหภูมิของสารละลายในถัง Acid Copper Plating	133
6.7 ขั้นตอนการทดลองสำหรับความเข้มข้นของ Chloride ion ในถัง Acid Copper Plating	134
6.8 ขั้นตอนการทดลองสำหรับความเข้มข้นของกรดซัลฟูริกในถัง Acid Copper Plating.....	135
6.9 กราฟแสดงการกระจายของค่าความหนาทองแดงในรู.....	137
6.10 กราฟแสดงการกระจายของค่าความหนาทองแดงในรู.....	140
6.11 กราฟแสดงการกระจายของค่าความหนาทองแดงในรู.....	143
6.12 กราฟแสดงการกระจายของค่าความหนาทองแดงในรู.....	146
6.13 กราฟแสดงการกระจายของค่าความหนาทองแดงในรู.....	149
6.14 กราฟแสดงการกระจายของค่าความหนาทองแดงในรู.....	152

สารบัญรูป (ต่อ)

รูปที่	หน้า
6.15 กราฟแสดงการกระจายของค่าความหนาทองแดงในรู.....	155
7.1 แผนภาพแสดงความหนาแน่นของกระแสไฟฟ้าที่มีต่อแผ่นวงจรที่ตำแหน่งต่างๆ ในถังชุบ.....	168
7.2 ขั้นตอนการทดลองเพื่อปรับปรุงกระบวนการผลิต.....	169
7.3 รูปแสดงผลหลัก.....	174
7.4 กราฟแสดงการกระจายของส่วนตกลง.....	179
7.5 แผนภาพแสดงความสัมพันธ์ระหว่างส่วนตกลงกับลำดับของข้อมูล.....	180
7.6 แผนภาพแสดงความสัมพันธ์ระหว่างส่วนตกลงกับค่า Fitted value.....	181
7.7 ผลการวิเคราะห์ระดับที่เหมาะสมของปัจจัยนำเข้าที่สำคัญที่เข้าร่วม (Coded unit)..	186
8.1 ขั้นตอนการทดสอบยืนยันผล.....	189
8.2 แผนภาพการกระจายของค่าเฉลี่ยความหนาทองแดงในรูของการทดสอบยืนยันผล..	190
8.3 ความสามารถด้านสมรรถนะของกระบวนการของค่าเฉลี่ยความหนาทองแดงในรูของการทดสอบยืนยันผล.....	191
9.1 ใบตรวจสอบ Parameter สำหรับเครื่อง Acid Copper Plating.....	194
9.2 ขั้นตอนการแก้ไขเมื่อเวลาที่ใช้ในการซุ่มออกองค่าที่กำหนด.....	196
9.3 ขั้นตอนการแก้ไขเมื่อกระแสไฟฟ้าที่ใช้ในการซุ่มออกองค่าที่กำหนดต่อการชุบครั้งละ 6 พาเนล.....	198
9.4 ขั้นตอนการแก้ไขเมื่ออุณหภูมิของสารละลายที่ใช้ในการชุบออกองค่าที่กำหนด....	200
9.5 ลักษณะของข้อมูลที่ออกองค์ความคุ้ม.....	203
9.6 ขั้นตอนการแก้ไขเมื่อความเข้มข้นของคลอไรด์ อิโอนในสารละลายที่ใช้ในการชุบออกองค่าที่กำหนด.....	204
9.7 ขั้นตอนการแก้ไขเมื่อความเข้มข้นของกรดซัลฟูริกในสารละลายที่ใช้ในการชุบออกองค่าที่กำหนด.....	207
9.8 แผนภูมิความคุ้ม ImR สำหรับความเข้มข้นของคลอไรด์ อิโอน.....	208
9.9 แผนภูมิความคุ้ม ImR สำหรับความเข้มข้นของกรดซัลฟูริก.....	209
9.10 การกระจายของค่าความหนาทองแดงในรู.....	210
9.11 การวิเคราะห์ความสามารถของกระบวนการผลิตหลังการปรับปรุง.....	211
9.12 กราฟเส้นแสดงค่าสัดส่วนของเสียที่เกิดจากค่าความหนาทองแดงในรูไม่ได้ตามข้อกำหนดของแผ่นวงจรพิมพ์รุ่น 2712M04026 ของกระบวนการก่อนและหลังการปรับปรุง.....	211